

Nanofibrous Scaffolds based on Poly(caprolactone)/Chitosan/ Poly(vinyl alcohol) Blend for Skin Tissue Engineering

Adeleh Gholipour-Kanani^{1*}, Seyed Hajar Bahrami¹, Mohammad Taghi Joghataie²,
and Ali Samadikuchaksaraei^{3,4}

1. Textile Engineering Department, Amirkabir University of Technology, P.B.Box: 15875-4413, Tehran, Iran
2. Anatomy Group, Medical Faculty, Iran University of Medical Science, Tehran, Iran
3. Department of Medical Biotechnology, Faculty of Allied Medicine, Iran University of Medical Sciences, Tehran, Iran
4. Cellular and Molecular Research Center, Iran University of Medical Sciences, Tehran, Iran

Received 15 January 2013, accepted 22 May 2013

ABSTRACT

Nowadays, blending of natural and synthetic polymers has attracted a considerable interest in tissue engineering for reaching desirable properties. In this study, blend nanofibrous scaffolds were electrospun from poly(caprolactone)/chitosan/poly(vinyl alcohol) blend solutions in 2: 1: 1.5 mass ratio. SEM results showed that uniform and bead-less nanofibers with 136 ± 21 nm average diameter were obtained from electrospun poly(caprolactone)/chitosan/poly(vinyl alcohol) blend solutions. Tensile strength test and contact angle measurement demonstrated that addition of PCL led to higher mechanical and physical properties of the resulting web. As a result, addition of PCL in the blend supported the web physical integration in aqueous media of body. Fibroblast cells were cultured on nanofibrous webs to investigate web biocompatibility. The biological results showed appropriate biological properties for the produced nanofibrous webs. Tissue engineered scaffolds were prepared by seeding mesenchymal stem cells on half of the scaffolds. In vivo studies were carried out to investigate the effect of scaffolds on healing of excisional cutting wounds created on the back of the rats. From pathological studies, wounds treated with scaffolds (both acellular and cell-seeded ones) showed better healing compared with control specimens. The results showed that wounds acquired complete healing by the scaffolds within 10-day of post operation, while control wounds achieved healing after 15 days of post surgery operation. It is notable that, cell-seeded-scaffold-treated-wounds showed best healing process due to stem cells ability for collagen regeneration.

Keywords:

poly(caprolactone),
chitosan,
nanofibrous scaffolds,
tissue engineering,
wound healing

(*)To whom correspondence should be addressed.
E-mail: gholipour@aut.ac.ir

تولید داربست‌های نانولیفی بر پایه پلی‌کاپرولاکتون – کیتوسان – پلی‌وینیل الکل برای مهندسی بافت پوست

عادله قلی‌پور کنعانی^{*}، سید‌هریر بهرامی^۱، محمدتقی جغثائی^۲، علی صمدی کوچکسرایی^{۳،۴}

- ۱- تهران، دانشگاه صنعتی امیرکبیر، دانشکده مهندسی نساجی، صندوق پستی ۱۵۸۷۵-۴۴۱۳
- ۲- تهران، دانشگاه علوم پزشکی و خدمات بهداشتی و درمانی ایران، دانشکده پزشکی، گروه آناتومی
- ۳- تهران، دانشگاه علوم پزشکی و خدمات بهداشتی و درمانی ایران، دانشکده پیراپزشکی، گروه بیوتکنولوژی
- ۴- تهران، دانشگاه علوم پزشکی و خدمات بهداشتی و درمانی ایران، مرکز تحقیقات سلولی و مولکولی

دریافت: ۹۲/۳/۱، پذیرش: ۹۱/۱۰/۲۶

مجله علوم و تکنولوژی پلیمر،
سال بیست و ششم، شماره ۲،
صفحه ۱۵۹-۱۷۰، ۱۳۹۲
ISSN: 1016-3255
Online ISSN: 2008-0883

چکیده

امروزه استفاده از مخلوط پلیمرهای طبیعی و سنتزی در تولید داربست‌های زیستی به دلیل قابلیت دستیابی به ویژگی‌های مطلوب، بسیار مورد توجه پژوهشگران قرار گرفته است. در این پژوهش، داربست‌های نانولیفی مخلوط پلی‌کاپرولاکتون – کیتوسان – پلی‌وینیل‌الکل از محلول مخلوط پلیمرها با نسبت ۲ : ۱ : ۱/۵ به روش الکتروریسمی تهیه شد. بررسی‌های میکروسکوپ الکترونی نشان‌دهنده دستیابی به نانولیافی با قطر متوسط $136 \pm 21 \text{ nm}$ و شکل‌شناسی بسیار یکنواخت بدون دانه‌تسبیحی است. آزمون‌های استحکام کششی و اندازه‌گیری زاویه تماس روی شبکه نانولیفی نشان می‌دهد، اضافه شدن پلی‌کاپرولاکتون سبب بهبود خواص مکانیکی و فیزیکی شبکه حاصل می‌شود. به عنوان یک نتیجه، افزودن پلی‌کاپرولاکتون به مخلوط سبب حفظ تمامیت فیزیکی شبکه حاصل در محیط آبی بدن شده است. برای بررسی مقدار زیست‌سازگاری و بررسی خواص زیستی داربست تولید شده، سلول‌های فیبروبلاست روی نمونه‌های مدنظر کشت داده شدند. نتایج آزمون‌های زیستی نشان‌دهنده سلول‌سازگاری بسیار عالی داربست‌های نانولیفی حاصل بوده است. در بحث مهندسی بافت، روی نیمی از داربست‌ها، سلول‌های بنیادی مزانشیمی بند ناف انسانی کاشته شده است. برای بررسی چگونگی اثربخشی داربست‌های حاصل در ترمیم زخم، مطالعات بالینی بر پوست پشت موش‌های صحرایی با بررسی ترمیم زخم‌های برشی تمام عمق انجام شده است. نتایج پاتولوژی نشان‌دهنده اثربخشی بسیار مناسب داربست‌های نانولیفی در مقایسه با نمونه‌های کنترل (بدون داربست) است. زخمهای ترمیم شده با داربست در روز دهم پس از جراحی به حد نهایی ترمیم رسیدند، درحالی‌که زخمهای گروه کنترل پس از ۱۵ روز به این حد ترمیم دست یافتند. همچنین، اثر بهبود داربست‌های با سلول بنیادی در مقایسه با داربست‌های بدون سلول به دلیل قابلیت کلازن‌سازی سلول‌های بنیادی بهتر بوده است.

واژه‌های کلیدی

پلی‌کاپرولاکتون،
کیتوسان،
داربست‌های نانولیفی،
مهندسی بافت،
ترمیم زخم

* مسئول مکاتبات، پیام‌نگار:
gholipour@aut.ac.ir

مقدمه

می‌گیرد و مانع از دفع بارهای همنام و از هم گستنگی زنجیرهای کیتوسان می‌شود. بدین ترتیب، این ترکیب قابلیت الکتروریسی کیتوسان را افزایش می‌دهد. از طرفی، به دلیل قابلیت زیستی مناسب پلی‌وینیل الکل مانعی در کاربرد پزشکی کیتوسان ایجاد نمی‌کند. اما در این میان، قابلیت الکتروریسی و خواص فیزیکی - مکانیکی ضعیف آنها در محیط‌های زیستی تا حدودی کاربردهای این مواد را محدود کرده است [۵].

به منظور ارتقای قابلیت الکتروریسی به‌طور عمدۀ از پلیمرهای آبدوستی چون پلی‌وینیل الکل (PVA) و پلی‌اتیلن اکسید (PEO) به شکل مخلوط با این پلیمرهای طبیعی استفاده می‌شود، این موضوع منجر به افزایش آبدوستی شبکه نانولیفی و کاهش قابلیت حفظ تمامیت فیزیکی شبکه در محیط‌های آبی زیستی می‌شود. در این راستا، در بسیاری از موارد از عوامل ایجاد اتصال عرضی برای کاهش مقدار آبدوستی استفاده می‌شود. اما، این مواد بسیار سمی‌اند و کنترل مقدار تشکیل اتصال عرضی نیز مسئله‌ای دشوار است. در این راستا، استفاده از پلیمر آبگریز سنتزی به عنوان جزء سوم در مخلوط می‌تواند راه‌گشا باشد [۶-۷].

اخیراً کوشش‌های بسیاری در زمینه تولید داربست‌های نانولیفی مخلوط چند پلیمر به‌ویژه مخلوط پلیمرهای طبیعی و مصنوعی برای مصارف زیست‌پزشکی انجام شده است. اما، درباره مخلوط کیتوسان و پلی‌کاپرولاکتون بیشتر مطالعات روی فیلم، غشا [۸] یا الیاف تریسی شده [۹،۱۰] آنها انجام شده و مطالعات بسیار کمی روی الکتروریسی مخلوط مدنظر انجام شده است.

در زمینه الکتروریسی مخلوط پلی‌کاپرولاکتون-کیتوسان، Shalumon و همکاران [۱۱] موفق به ساخت داربست نانولیفی شدند که در آن غلظت کیتوسان (CS) از ۰/۵٪ تا ۲٪ متغیر و غلظت PCL برابر با ۶٪ درنظر گرفته شده بود. همچنین در بررسی‌های زیستی، داربست مدنظر اتصال و انتشار سلولی خوبی را با سلول‌های مختلف از جمله سلول فیبروبلاست L929 نشان داده است. آنها با استناد به این آزمون‌ها بیان کردند، داربست حاضر می‌تواند گزینه ایده‌آلی برای مهندسی بافت پوست و استخوان باشد [۱۲].

در این پژوهش، به‌جای استفاده از عامل ایجاد اتصال عرضی پلی‌کاپرولاکتون به‌کار رفته است که پلیمری آبگریز و زیست‌سازگار است. داربست‌های نانولیفی مخلوط از الکتروریسی محلول‌های مخلوط پلی‌کاپرولاکتون - کیتوسان - پلی‌وینیل الکل تولید شدند. خواص فیزیکی - مکانیکی و شکل‌شناسی داربست‌های حاصل بررسی شد. برای بررسی مقدار زیست‌سازگاری آزمون کشت سلولی با سلول‌های فیبروبلاست روی داربست‌ها انجام شده است. پس

ترمیم یا جایگزینی بافت آسیب‌دیده همواره از دغدغه‌های اصلی دانشمندان علم زیست‌شناسی بوده است. امروزه، مهندسی بافت مهم‌ترین ابزار دانشمندان در تولید بافت‌ها و پروتزهای جایگزین برای ترمیم یا جایگزینی بافت آسیب‌دیده است. در این راستا، نانوفناوری و به‌طور ویژه الکتروریسی به عنوان فناوری تولید نانولیاف به‌دلیل ایجاد داربست‌های سه‌بعدی و متخالخل با مقیاس نانو که بسیار شبیه به ماتریس خارج سلولی (extra cellular matrix, ECM) بافت طبیعی است، بسیار مورد توجه دانشمندان قرار گرفته است [۱،۲]. نانولیاف با داشتن ویژگی‌های منحصر به فرد، قابلیت ایجاد مسیری مناسب را برای دریافت و فرستادن علائم زیست‌شیمیایی دارد، بدین ترتیب سلول‌های فیبروبلاست را به لایه پوست‌رویی جذب کرده و این سلول‌ها اجزای اصلی ماتریس خارج سلولی طبیعی را ترشح می‌کند. افزون بر این ویژگی، ساختارهای نانولیفی برای چسبندگی و تکثیر سلولی بسیار مناسب است [۳].

علاوه بر اهمیت ایجاد ساختار مناسب مشابه با ماتریس خارج سلولی، نوع زیست‌مواد پلیمری استفاده شده در تولید داربست‌های نانولیفی نیز از اهمیت بسیاری برخوردار است. پلیمرهای طبیعی مانند کیتین، کیتوسان و کلاژن، به دلیل خواص زیستی بسیار مناسب همچون قابلیت‌های زیست‌چسبندگی، زیست‌سازگاری و ضدمیکروبی بسیار مورد توجه پژوهشگران قرار دارند. کیتوسان پلی‌ساقاریدی خطی مت Shank از دو بخش دی‌استیل شده (β -D-گلوکوز‌آمین و استیل‌دارشده (N-استیل-D-گلوکوز‌آمین) است که به شکل تصادفی نسبت بهم قرار گرفته‌اند. منشأ این پلیمر، اجزای اصلی پوسته آبزیانی چون میگو و خرچنگ یا دیواره قارچ هاست.

آمین‌های کیتوسان در محیط اسیدی تبدیل به آمین نوع چهارم شده و کیتوسان به یک پلی‌کاتیون تبدیل می‌شود. این ویژگی موجب محلول‌بودن کیتوسان در آب و زیست‌چسبندگی بودن آن می‌شود. بنابراین، کیتوسان انتقال داروهای قطبی را از سطح اپیتلیال (epithelial) آسان‌تر می‌سازد. به دلیل زیست‌سازگاری، زیست‌تخریب‌پذیری و ضدمیکروب‌بودن آن اغلب در کاربردهای پزشکی استفاده می‌شود [۴]. کیتوسان پلیمری آبدوست است، اما به دلیل وزن مولکولی زیاد و گرانروی ذاتی زیاد به پلیمر آبدوست دیگری برای کاهش گرانروی محلول نیاز دارد. همچنین، کیتوسان در محیط اسیدی خاصیت پلی‌کاتیونی دارد و در میدان الکتریکی سبب از هم گستنگی زنجیرهای مجاور می‌شود، به‌گونه‌ای که امکان الکتروریسی آن به تنهایی وجود ندارد.

پلی‌وینیل الکل به عنوان جزء دوم در میان زنجیرهای کیتوسان قرار

الکل با نسبت ۲ (PCL) ۱ (Cs) ۱/۵ (PVA) روی پمپ سرنگ قرار داده شد و سرعت خروج ۱ mL/h روى دستگاه تنظیم شد. فاصله نازل تا جمع کننده (ورق آلومینیمی $15 \times 215 \text{ cm}$) به اندازه ۱۵ cm در نظر گرفته شد. ولتاژ ۱۵ kV به دو سر الکترود متصل به نازل و جمع کننده اعمال شد. بدین ترتیب، محلول تحت الکتروریسی قرار گرفت و شبکه بی‌بافت نانولیفی روی صفحه جمع کننده جمع آوری شد.

بررسی‌های شکل‌شناسی

در این آزمون از میکروسکوپ الکترونی پویشی (SEM) مدل 30 XL ساخت شرکت Philips هلند برای شناسایی و مشاهده ساختار نانولیفی نمونه‌های تهیه شده و همچنین چگونگی شکل‌شناسی و قرار گیری سلول‌ها روی شبکه‌های نانولیفی استفاده شده است.

آزمون تعیین زاویه تماس (آب‌دوستی)

آب‌دوستی شبکه با اندازه‌گیری زاویه تماس آن با آب مقطر معین شد. شبکه نانولیفی در اندازه 12 mm^2 بریده و روی یک پایه نگهدارنده SSC-DC318P color video camera روبه‌روی آن تنظیم شده است. مقدار ۲ mL آب مقطر در یک سرنگ جای داده شده و سرنگ به طور عمود بر سطح شبکه در بالای آن آماده شد. یک قطره آب مقطر به حجم حدود $2 \mu\text{L}$ روی شبکه قرار گرفت. شکل قطره روی سطح با استفاده از دوربین مزبور پس از گذشت ۳ s از قرار گرفتن قطره روی شبکه ثبت شده و زاویه تماس قطره با سطح اندازه‌گیری شد.

استحکام کششی

در این آزمون، دستگاه کشش (استحکام‌سنج) Instron مدل 5566 ساخت انگلستان به کار گرفته شد. ابتدا شبکه‌ها در اندازه‌های برابر به شکل مستطیلی با ابعاد $60 \times 10 \text{ mm}$ برش داده شدند و در فک‌های مربوط به الیاف (به دلیل ضخامت کم لایه‌ها) قرار داده شدند. فک‌ها با سرعت 2 mm/min از هم فاصله می‌گیرند تا زمانی که پارگی اتفاق بیفتد [۱۳]. در این آزمون خواص الیاف و آرایش هندسی آنها در گیری بین الیاف معین کننده خواص شبکه نانولیفی است.

کش سلولی

رشد سلول‌ها در محیط آزمایشگاه را اصطلاحاً کشت سلولی می‌نامند. سلول‌های فیبروبلاست L929 دم موش مطابق با استاندارد ASTM F813 استفاده شدند. تعداد سلول‌های کشت شده روی نمونه‌ها 4×10^4 سلول

از تعیین مقدار زیست‌سازگاری، داریستهای دو شکل با سلول (سلول‌های بنیادی مزانشیمی) و بدون سلول برای ترمیم زخم‌های برشی تمام عمق بر زخم‌های ایجاد شده بر پوست پشت موش‌های صحرایی به کار برد شدند. به منظور بررسی روند ترمیم زخم، سه زمان ۵، ۱۰ و ۱۵ روز برای برداشت نمونه‌ها در نظر گرفته شد. نمونه‌های برداشت شده تحت بررسی‌های پاتولوژی قرار گرفتند.

تجربی

مواد

پلی کاپرولاکتون با وزن مولکولی ۸۰ کیلو Dalton از شرکت Sigma-Aldrich خریداری شد. کیتوسان با وزن مولکولی زیاد (۱۰۰۰ کیلو Dalton) از شرکت کیتوتك تهیه شد. پلی وینیل الکل، استیک اسید و سایر مواد شیمیایی مورد نیاز از شرکت Merck خریداری شد.

دستگاه‌ها و روش‌ها

تقطیع محلول‌ها

محلول پلی کاپرولاکتون ۱۰٪ از حل کردن پلیمر در حلal استیک اسید ۹۰٪ تهیه شد. محلول ۵٪ کیتوسان در استیک اسید ۸۰٪ و محلول ۱۰٪ پلی وینیل الکل نیز در آب مقطر تهیه شد. سه محلول مدنظر برای به دست آوردن نسبت ۱:۲:۱ جرمی پلی کاپرولاکتون-کیتوسان-پلی وینیل الکل با هم مخلوط شدند. بدین منظور، حجم مدنظر از پلی کاپرولاکتون در یک ظرف قرار گرفت و هم‌زمان محلول با همزن مغناطیسی همzedه شد. سپس، به آرامی حجم مدنظر از محلول کیتوسان و سپس حجم محاسبه شده از محلول پلی وینیل الکل به ظرف اضافه شد، در زمان اختلاط، محلول با همزن مغناطیسی هم‌زده می‌شد. پس از تهیه محلول مخلوط با نسبت مدنظر محلول برای الکتروریسی داخل سرنگ منتقل شد.

الکتروریسی

دستگاه الکتروریسی شامل منبع ولتاژ قوی $40-40 \text{ kV}$ ، دو الکترورود مثبت و منفی که الکترود مثبت به نازل و منفی به صفحه جمع کننده متصل می‌شود. صفحه جمع کننده ساکن (ورق آلومینیمی با اندازه $15 \times 15 \text{ cm}$)، پمپ سرنگ رقمه (ATOM Medical Corp)، مدل 1235N ۱۲۳۵ ساخت ژاپن، با حداقل سرعت تزریق 0.1 mL/h ، سرنگ ۲۰ mL پلاستیکی و نازل (سر سرنگ Spinal guage با اندازه ۱۹-۲۰) است. سرنگ حاوی محلول مخلوط پلی کاپرولاکتون-پلی وینیل

روز داربست ها برداشته و در محل زخم کاشته شدند. داربست هایی که به همراه سلول در بدن حیوان قرار می گیرند داربست های مهندسی بافت شده هستند، به عبارت دیگر عملیات مهندسی بافت روی آنها انجام شده است.

جراحی و ایجاد زخم های برشی

داربست های نانولیفی در دو حالت با سلول و بدون آن برای بررسی روند ترمیم زخم های مختلف برشی گرد تمام عمق بر پشت موش های صحرایی به کار برد شدند. در مطالعات بالینی درون بطن (in vivo)، تمام آزمون ها توسط کمیته اخلاق مرکز قلب دانشگاه تهران تأیید شده است. همه موش ها تحت مراقبت های انسانی در حیوان خانه با تنظیم دمای $22\pm2^{\circ}\text{C}$ و رطوبت ۵۰-۶۰٪ مطابق با مرجع ۱۴ مقدار مناسبی از 50 mg/kg کتامین و 5 mg/kg زایالازین بیوهوش می شوند. سپس، موهای پشت موش تراشیده شده و پوست با بتادین سترون و آماده عمل می شود. در پشت هر موش هم زخم کترول (بدون پوشش با داربست حاصل) و هم زخم آزمونه (پوشیده شده با داربست حاصل) ایجاد می شود. شکل ۱، نحوه ایجاد زخم و پوشش آن با داربست نانولیفی را نشان می دهد.

برای این مطالعه دوازده سر موش صحرایی نر بالغ (sprague dawley rats) با وزن متوسط $250\pm50\text{ g}$ استفاده شدند. شش سر موش به منظور بررسی اثر داربست بدون سلول (در ۳ زمان برداشت و در هر زمان ۲ سر موش) و شش سر موش برای بررسی اثر داربست با سلول بر بھبود زخم برشی استفاده شدند. در بررسی اثر ترمیم، بر پشت هر موش دو زخم یکی به عنوان کترول (بدون داربست) و دیگری به عنوان آزمونه (با داربست) ایجاد شد. برای ایجاد زخم دایره ای به قطر 1 cm از پوست پشت موش به شکل تمام عمق و با استفاده از تیغ و

بود. این سلول ها پیش از کشت سلولی در محیط رشد RPMI-1640 به همراه پنی سیلین، 100 IU/mL استرپتومیسین و 10% سرم جنینی گوساله (FCS) نگهداری شدند. نمونه ها پس از سترون سازی، در درون پلیت کشت سلولی از جنس پلی استیرن قرار داده شد. در هر خانه 1 mL از تعليق سلولی شامل 90000 سلول ریخته شد. یک خانه از آن نیز به عنوان شاهد منفی (بدون نمونه) نگه داشته شد. آنگاه پلیت ها به مدت 72 h در انکوباتور CO_2 ، 5% کربن دی اکسید، رطوبت 95% و دمای 37°C قرار داده شدند.

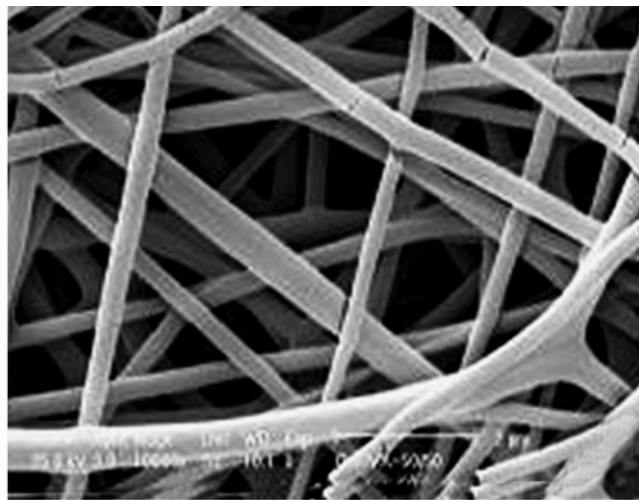
برای انجام آزمون های کشت سلولی، دستگاه انکوباتور CO_2 مدل NB-203L ساخت شرکت N-BioTek INC. به کار گرفته شد. پس از آن، محلول تعليق از درون تک تک خانه های پلیت خارج شد و نمونه ها به ترتیب در الکل های $50\text{, }80\text{, }70\text{, }$ و 96% هر کدام به مدت 10 min نگه داشته شدند تا سلول ها ثابت شوند.

کاشت سلول بنیادی روی داربست

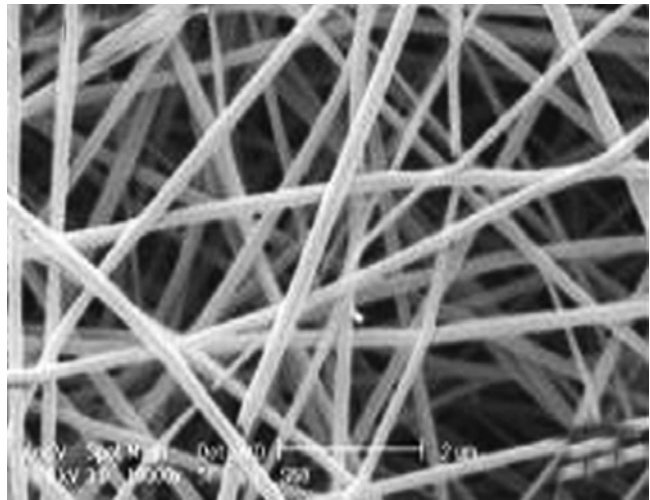
سلول بنیادی به سلولی گفته می شود که قابلیت خودنویسازی و تمایز به سلول های دیگر را داشته باشد. در این پژوهش، سلول های مزانشیمی بند ناف از نوزاد تازه به دنیا آمده به روش سزارین در بیمارستان افضلی پور کرمان پس از کسب رضایت از مادر تهیه شد. برای جداسازی سلول ها و کشت اولیه آن، قطعات ماتریس بندناف به پتری دیش ها منتقل و 1 mL محیط کشت DMEM/F12 حاوی 20% سرم جنین گاوی، 100 IU/mL پنی سیلین و $50\text{ }\mu\text{g/mL}$ استرپتومایسین سولفات به هر ظرف اضافه شد. پس از مشاهده جوانه های سلولی، قطعات ژله وارتون از محیط خارج و سلول های بنیادی در محیط کشت قرار داده شدند. داربست ها پس از سترون سازی با تابش پرتوهای UV داخل پلیت 24 خانه گذاشته شد. روی هر نمونه، تعداد 2000 سلول در $50\text{ }\mu\text{L}$ محیط کشت داده شد. پس از گذشت 3



شکل ۱- (الف) چگونگی ایجاد زخم برشی تمام عمق، (ب) آماده سازی زخم و (ج) قرار دادن داربست نانولیفی روی زخم آزمون.



(ب)



(الف)

شکل ۲- تصویر SEM شبکه نانولیفی: (الف) پلی‌کاپرولاکتون-کیتوسان-پلی‌وینیل‌الکل و (ب) کیتوسان-پلی‌وینیل‌الکل (ولتاژ 15 kV ، فاصله 15 cm و سرعت خروج 1 mL/h ، $\times 10000$).

آمده است. همان‌طور که در این شکل مشاهده می‌شود، نانوالياف سه‌جهزئی به شکل شبکه‌ای به هم پیوسته با شکل‌شناسی یکنواخت بدون دانه‌تسیبیحی ایجاد شده‌اند. قطر متوسط نانوالياف سه‌جهزئی حاصل حدود $136 \pm 21\text{ nm}$ بوده و توزیع قطری به دلیل وجود پلی‌کاپرولاکتون در مخلوط نسبتاً بهمن است. نانوالياف حاصل از شبکه دوچزئی کیتوسان-پلی‌وینیل‌الکل دارای شکل‌شناسی بدون دانه‌تسیبیحی و یکنواخت با قطر متوسط $180 \pm 32\text{ nm}$ است.

همان‌طور که مشاهده می‌شود، در شبکه سه‌جهزئی نسبت به دوچزئی با افزودن پلی‌کاپرولاکتون به مخلوط، نانواليافی با قطر متوسط کمتری حاصل شده است.

برای بررسی چگونگی تغییرات خواص مکانیکی و فیزیکی با افزایش پلی‌کاپرولاکتون، نتایج استحکام کششی و آبدوستی شبکه سه‌جهزئی پلی‌کاپرولاکتون-کیتوسان-پلی‌وینیل‌الکل در این پژوهش (شکل ۲-الف) با شبکه نانولیفی کیتوسان-پلی‌وینیل‌الکل (۱/۵ به ۱/۵) (شکل ۲-ب) در مرجع ۱۵ با هم مقایسه شده‌اند.

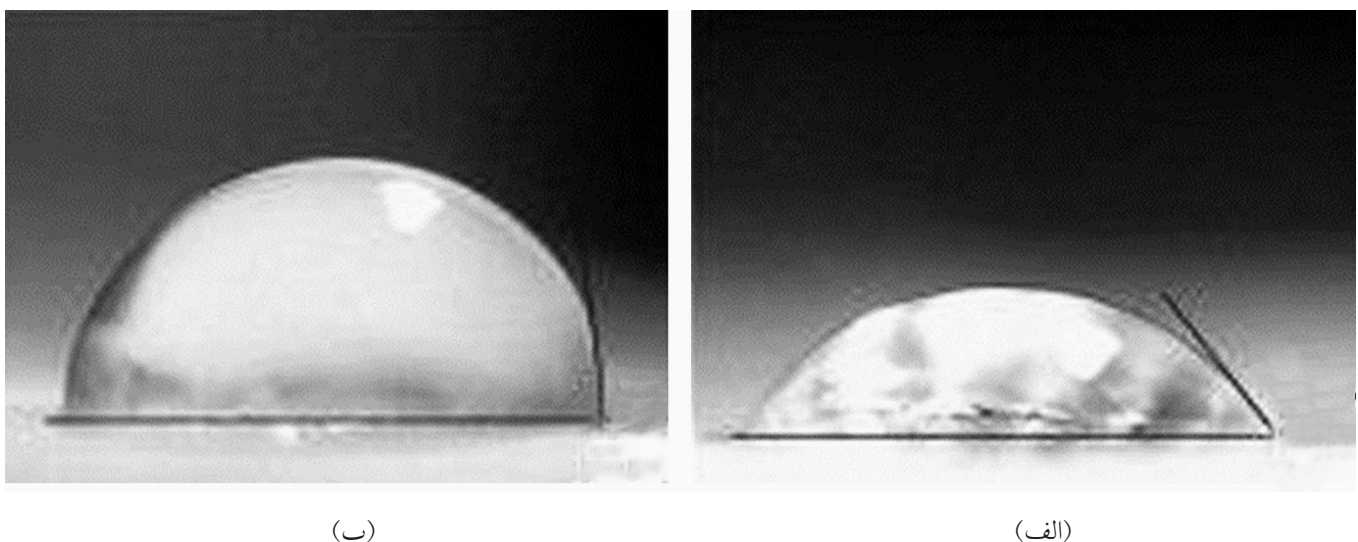
قیچی جراحی جدا شد (شکل ۱). شبکه‌های نانولیفی به شکل بدون سلول و با سلول بنیادی مزانشیمی با دقت روی زخم‌های آزمون قرار گرفتند. سپس، کل پشت موش با استفاده از گاز سترون پوشش داده شد. برای زخم برشی سه زمان برداشت ۵، ۱۰ و ۱۵ روز در نظر گرفته می‌شود. در هر زمان با استفاده از تزریق یک جای 100 mg/kg سدیم تیوپتال موش‌های مدنظر کشته شدند. نمونه‌های زخم کترول و آزمونه از پشت آنها جدا شده و در فرمالین قرار داده شدند تا در آزمون‌های پاتولوژی استفاده شوند.

نتایج و بحث

نتایج شکل‌شناسی و فیزیکی مکانیکی داربست حاصل
تصویر SEM شبکه نانولیفی مخلوط پلی‌کاپرولاکتون-کیتوسان-پلی‌وینیل‌الکل و کیتوسان-پلی‌وینیل‌الکل (۱ به ۱/۵) در شکل ۲

جدول ۱- استحکام کششی شبکه‌های کیتوسان-پلی‌وینیل‌الکل و پلی‌کاپرولاکتون-کیتوسان-پلی‌وینیل‌الکل.

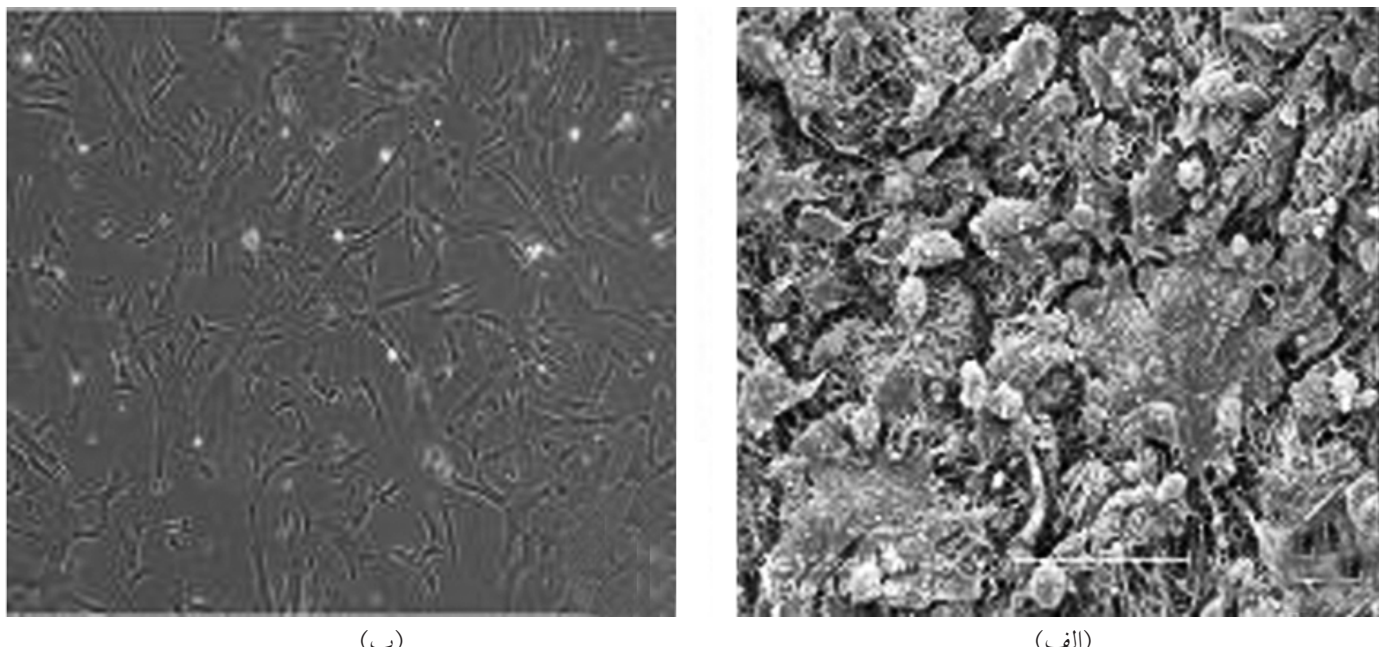
استحکام کششی (MPa)	کرنش کششی (%)	بیشینه بار (CN)	نوع شبکه نانولیفی
$1/705 \pm 0/002$	$11 \pm 1/5$	$81/25 \pm 2$	کیتوسان-پلی‌وینیل‌الکل (۱:۱/۵)
$1/853 \pm 0/005$	$2/22 \pm 1$	$52/66 \pm 3$	پلی‌کاپرولاکتون-کیتوسان-پلی‌وینیل‌الکل (۱:۱/۵)



شکل ۳- تصاویر زاویه تماس قطره آب با شبکه ها: (الف) کیتوسان - پلی وینیل الکل و (ب) پلی کاپرولاکتون - کیتوسان - پلی وینیل الکل.

آبدوستی شبکه های نانولیفی مخلوط با اندازه گیری زاویه تماس قطره آب معین شد. به طور معمول، سطوح آبدوست زاویه تماس بین صفر تا 30° ایجاد می کنند و سطوح با خاصیت آبدوستی کمتر زاویه تماس تا 90° نشان می دهند. شکل ۳، نشان دهنده نحوه قرار گیری قطره آب روی شبکه های کیتوسان - پلی وینیل الکل (شکل ۳ - الف)، پلی کاپرولاکتون - کیتوسان - پلی وینیل الکل (شکل ۳ - ب) پس از

نتایج استحکام کششی شبکه های مخلوط دو و سه جزئی در جدول ۱ آمده است. همان طور که در این جدول دیده می شود، با افزایش پلی کاپرولاکتون به کیتوسان - پلی وینیل الکل استحکام کششی شبکه حاصل افزایش می یابد. این افزایش می تواند به دلیل مناسب بودن خواص مکانیکی پلی کاپرولاکتون و نیر ایجاد پیوندهای شیمیایی بین پلیمر های مخلوط با یکدیگر باشد.



شکل ۴- (الف) تصویر SEM مربوط به چگونگی رشد و قرار گیری سلول های فیبروبلاست روی داربست پلی کاپرولاکتون - کیتوسان - پلی وینیل الکل پس از گذشت ۷۲ h از کشت سلول و (ب) تصویر میکروسکوپ نوری از نحوه قرار گیری سلول های بنیادی مزانشیمی روی داربست مخلوط سه جزئی.

جدول ۲ - مساحت زخم‌های اندازه‌گیری شده پس از گذشت ۵، ۱۰ و ۱۵ روز از عمل جراحی.

اندازه زخم				نمونه
روز پانزدهم	روز دهم	روز پنجم	اولیه	
۲۵/۹ ± ۰/۳۵	۵۲/۱۸ ± ۰/۴	۶۸/۲ ± ۰/۲۲	۷۸/۵ ± ۰/۰۱	کنترل
۱۳/۱ ± ۰/۱۲	۲۹/۵ ± ۰/۲۷	۵۰/۴ ± ۰/۱۷	۷۸/۵ ± ۰/۰۱	داربست بدون سلول
.	۲۱/۱۱ ± ۰/۲۳	۴۴/۰ ± ۰/۲۴	۷۸/۵ ± ۰/۰۱	داربست با سلول

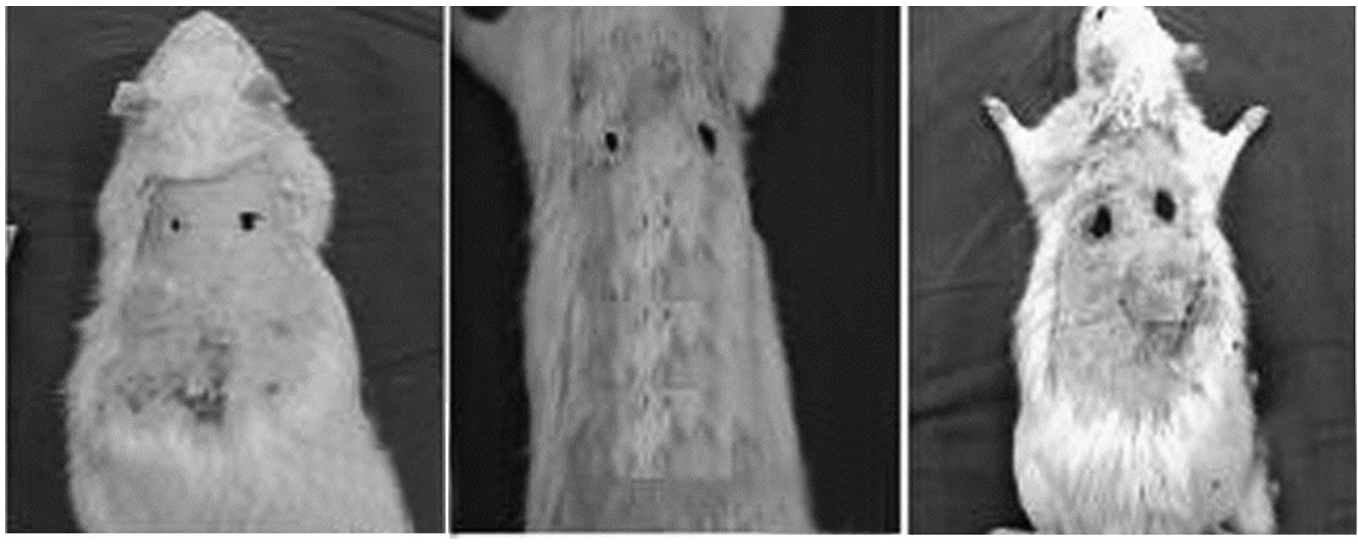
می‌دهد. در شکل ۴ - الف شکل‌شناسی و برهم‌کنش بین سلول‌ها و داربست نانولیفی به‌خوبی مشاهده می‌شود. سلول‌های فیبروبلاست به‌خوبی روی داربست پلی‌کاپرولاکتون - کیتوسان - پلی‌وینیل الکل اتصال برقرار کرده و گستردۀ شده‌اند و یک شکل‌شناسی نرم‌ال را ایجاد کرده‌اند. به دلیل آرایش‌یافته‌گی تصادفی نانولایاف در شبکه بی‌بافت، سلول‌ها در تمام جهات سطح شبکه و در راستای جهت نانولایاف رشد داشته‌اند. نتایج نشان می‌دهد، افزایش PCL با وجود کاهش مقدار آبدوستی شبکه، اما کاهش شدیدی در خواص زیستی شبکه مخلوط مشاهده نمی‌شود. به عبارت دیگر، افزایش PCL سبب حفظ تمامیت فیزیکی شبکه در محیط آبی شده و قابلیت‌های زیستی را نیز حفظ کرده است.

نتایج آزمون‌های بالینی بودسی‌های مکروسوکوبی برای بررسی روند ظاهری بهبود زخم، مساحت زخم‌ها با توجه به

s ۳ است. شبکه مخلوط کیتوسان - پلی‌وینیل الکل به دلیل آبدوستی ذاتی زاویه تماس $23/8 \pm 2^\circ$ را ایجاد می‌کند. همان‌طور که از شکل ۳-ب پیداست، با افزودن PCL به شبکه مخلوط مقدار آبدوستی مخلوط کمتر شده و زاویه تماس به حدود 80° افزایش می‌یابد. از آنجا که اندازه زاویه تماس همچنان زیر 90° است، می‌توان انتظار داشت که آبدوستی نسبتاً مناسب شبکه‌های مخلوط پلی‌کاپرولاکتون - کیتوسان - پلی‌وینیل الکل موجب حفظ قابلیت‌های زیستی مخلوط کیتوسان - پلی‌وینیل الکل می‌شود. افرون بر این، به دلیل کاهش آبدوستی تمامیت شبکه در محیط‌های زیستی آبی حفظ می‌شود و خواص مکانیکی بهتری می‌یابد. برای بررسی قابلیت زندماندن، رشد و تکثیر سلول‌ها روی داربست تهیه شده، سلول‌های فیبروبلاست L929 دم موش در محیط کشت روی داربست کشت شده‌اند. شکل ۴ - الف، SEM حاصل از شکل‌شناسی سلول‌های فیبروبلاست و شکل ۴ - ب تصویر میکروسکوپ نوری شبکه‌های بینایی مزانشیمی بند نافی را پس از گذشت ۷۲ h از کشت سلولی روی داربست نشان

جدول ۳ - معیارهای مدنظر بهبود در بررسی پاتولوژی و نحوه کدگذاری آنها.

معیار	کد	یک (۱)	دو (۲)	سه (۳)	چهار (۴)
اپتیلیال‌سازی		بسیار ضعیف	ضعیف	متوسط	کامل
ضمائم پوستی و بافت		بدون ضمائم و بافت	بدون ضمائم و بافت	با ضمائم و بافت	با ضمائم و بافت
جوانه‌ایی		جوانه بسیار ظرفی	جوانه متوسط	متوسط	جوانه ضخیم
کلاژن‌سازی و نوع نظم آن		بسیار ضعیف و با	ضعیف و با فیریل‌های	با فیریل‌های باندلی و لی	کامل و با باندل‌های کلاژنی
ترمیم زخم		هرمراه با التهاب زیاد و	مشخص	نامنظم	ترمیم کامل
		ترمیم بسیار ضعیف	هرمراه با التهاب کم و ترمیم	التهاب بسیار کم و ترمیم	ترمیم کامل
			متوسط	نسبتاً خوب	



شکل ۵- تصاویر ترمیم زخم برشی (زخم سمت چپ پشت هر موش مربوط به زخم با داربست و سمت راست زخم کنترل است) در روزهای مختلف پس از عمل و پانسمان با زخم‌بند نانولیفی: (الف) ۵ روز، (ب) ۱۰ روز و (ج) ۱۵ روز.

قالب‌گیری، برش، تهیه لام و لکه‌گذاری قرار گرفتند. لام‌های تهیه شده از مقاطع عرضی زخم به وسیله میکروسکوپ Olympus AX70 مشاهده و عکس‌برداری شدند. تصاویر هیستوشیمیایی حاصل از لکه‌گذاری هماتوکسیلین-اٹوزین (H&E) زخم‌های برشی گرد بدون داربست (کنترل) و با داربست بدون سلول و با داربست با سلول در زمان‌های ۵، ۱۰ و ۱۵ روز در شکل ۶ نشان داده شده است.

در روز پنجم نمونه‌های کنترل حاوی مقدار زیادی فیبرین و دلمه بوده و کلاژن‌سازی در حد صفر و بسیار ضعیف است. اپیتلیال‌سازی نیز انجام نشده و در مجموع روند ترمیم بسیار ضعیف و در حد هیچ است. این درحالی است که در نمونه با داربست، کلاژن‌سازی ضعیف با فیبریل‌های نامنظم، بافت جوانه‌ای نسبتاً متوسط بدون ضمائم پوستی و اپیتلیال‌سازی ضعیف روی زخم دیده می‌شود و در مجموع روند ترمیم ضعیف با شماره ۱ است. در زخم‌های پوشش یافته با داربست با سلول، کلاژن‌سازی متوسط با فیبریل‌های زیاد دیده می‌شود و لایه اپیتلیال با ضخامت کم روی تمام زخم ایجاد شده است.

در روز دهم، نمونه کنترل حاوی مقدار زیادی کلاژن فیبریلی است و لایه اپیتلیال فقط در حاشیه زخم دیده می‌شود. در نمونه دارای داربست نانولیفی بدون سلول، کلاژن‌سازی در حد متوسط و با شماره ۲ دیده می‌شود. در این نمونه، ضمائم پوستی در این نمونه دیده نمی‌شود، لایه اپیتلیال کامل بوده و روند بهبود نسبتاً خوب با شماره ۳ تا ۳ است. درحالی که در نمونه‌های داربست با سلول، کلاژن‌سازی خوبی به همراه باندل‌های نامنظم دیده می‌شود. نکته جالب توجه در این

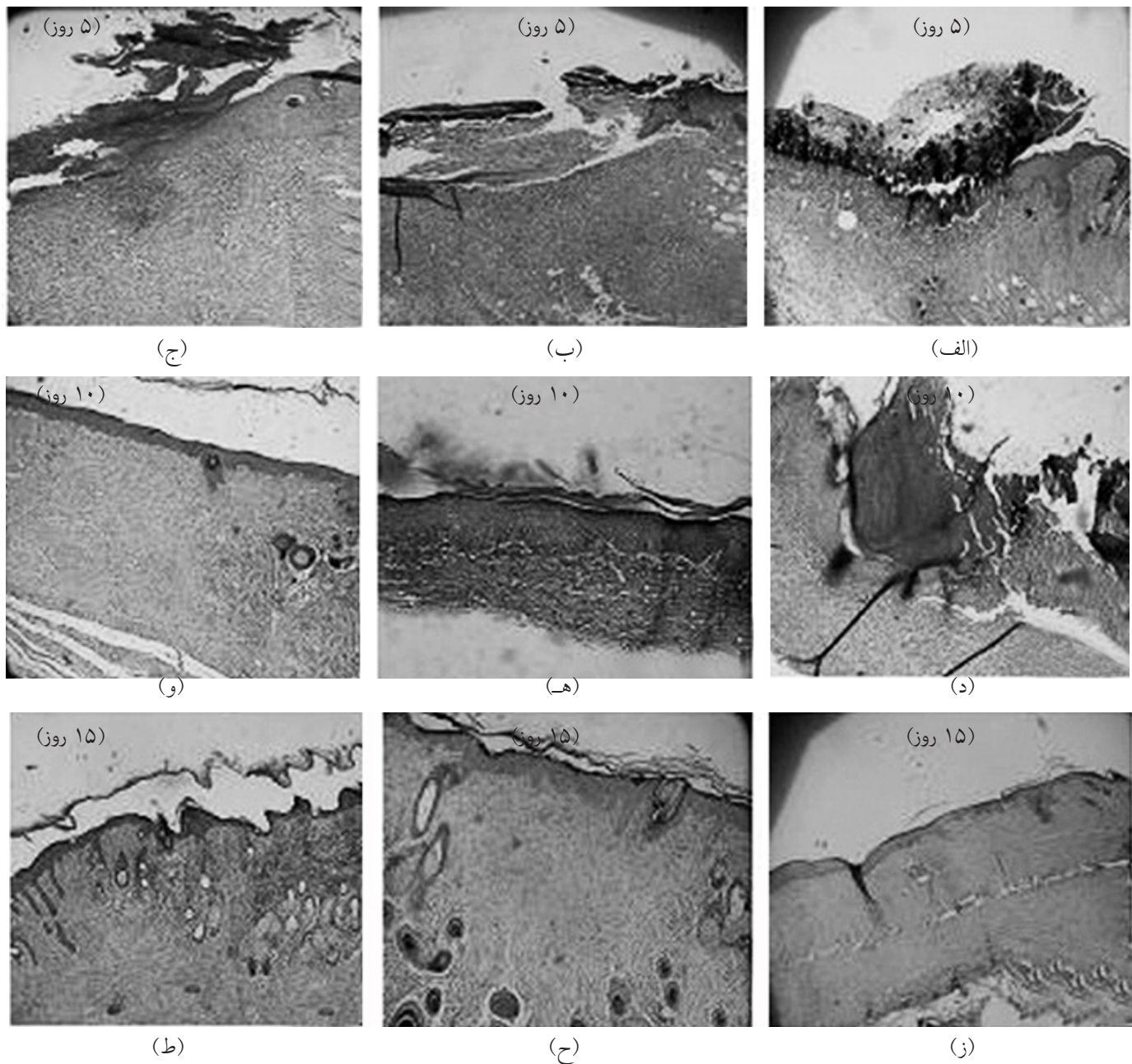
نوع داربست به کار گرفته شده و زمان برداشت بافت اندازه‌گیری شده است. این کار با استفاده از تصاویر رقمی تهیه شده از زخم‌ها انجام شد (شکل ۵). هرچه مساحت زخم در یک زمان مشخص کوچک‌تر باشد، نشان‌دهنده بهبود بهتر زخم است. مساحت گزارش شده از هر زخم در هر زمان، مساحت متوسط از چهار زخم است.

مساحت زخم‌های اندازه‌گیری شده میانگین چهار مرتبه اندازه‌گیری است، در جدول ۲، این مقادیر برای زخم‌های کنترل و زخم‌های پوشش داده شده با داربست بدون سلول و با سلول پس از گذشت ۵، ۱۰ و ۱۵ روز از عمل جراحی گزارش شده است. همان‌طور که مشاهده می‌شود، در روز پانزدهم پس از جراحی در نمونه دارای داربست با سلول هیچ اثری از زخم و اسکار دیده نشده و ترمیم به طور کامل انجام شده است. همچنین، در همان روز نمونه دارای داربست بدون سلول اندازه زخمی حدود نصف اندازه زخم کنترل در این روز را نشان می‌دهد.

بررسی‌های میکروسکوپی (نتایج پاتولوژی)

برای بررسی روند ترمیم زخم معیارهای اپیتلیال‌سازی (epithelialization)، وجود ضمائم پوستی (skin appendages)، کلاژن‌سازی و نوع نظم آن و عامل کلی ترمیم زخم در این پژوهش مدنظر قرار گرفتند که طبق جدول ۳ و با توجه به مرجع ۱۶ کدگذاری شده‌اند.

پس از اتمام جراحی و گذشت مدت زمان‌های معین شده، نمونه‌های کنترل و آزمون از بدن حیوان خارج و در عملیات آماده‌سازی،



شکل ۶- تصاویر هیستوشیمیایی از زخم برشی تمام عمق در: (الف، د، ز) نمونه‌های کنترل، (ب، ه، ح) نمونه‌های با داربست و (ج، و، ط) نمونه‌های با داربست با سلول در روزهای مختلف پس از عمل جراحی.

کامل باندلی منظم به همراه ضمائم پوستی دیده می‌شود که در سرتاسر سطح زیر زخم کشیده شده است. ترمیم به گونه‌ای انجام شده که زخم همانند یک بافت نرم‌مال دیده می‌شود.

به طور کلی، ترمیم زخم در نمونه با داربست نانولیفی مخلوط پلی‌کاپرولاکتون - کیتوسان - پلی‌وینیل الکل از روز دهم در مرحله تکمیلی ترمیم قرار داشته و در روز پانزدهم با ایجاد ضمائم پوستی به حد نهایی ترمیم رسیده است. این درحالی است که ترمیم در

نمونه وجود ضمائم پوستی چون فولیکول‌های مویی در حاشیه و لبه زخم است. همچنین، لايه اپیتیال کامل است و روند ترمیم زخم بسیار خوب تلقی می‌شود.

در روز پانزدهم در نمونه دارای داربست نانولیفی مخلوط، کلاژن‌سازی در حد متوسط انجام شده است و ضمائم پوستی دیده می‌شود. همچنین، اپیتیال‌سازی کامل و روند کلی ترمیم زخم خوب با شماره ۳ تا ۴ است. در نمونه حاوی داربست با سلول، کلاژن‌سازی

جدول ۴- معیارهای کدگذاری شده با توجه به نتایج پاتولوژی برای نمونه های حاوی داربست بدون سلول و با سلول در روزهای مختلف پس از عمل جراحی.

زمان (روز)	معیار نمونه	اپیتیال سازی	ضمائمه پوستی	کلاژن سازی	ترمیم زخم
۵	کنترل	۱	۱	۱	۱
	داربست بدون سلول	۱	۲	۱-۲	۱-۲
	داربست با سلول	۲	۲	۲	۲
۱۰	کنترل	۲	۲	۲	۲-۳
	داربست بدون سلول	۴	۲	۲	۲-۳
	داربست با سلول	۴	۳	۳	۳
۱۵	کنترل	۴	۲	۲	۲-۳
	داربست بدون سلول	۴	۳	۳	۳-۴
	داربست با سلول	۴	۴	۴	۴

بالینی نشان دهنده اثر بسیار مطلوب داربست نانولیفی حاضر بر ترمیم زخم های برشی است. به طوری که داربست با سلول در روز پانزدهم داربست در روز دهم نبوده اند. همچنین، نتایج معیارهای کدگذاری شده با توجه به نوع نمونه (کنترل، داربست بدون سلول و داربست با سلول) در روزهای مختلف در جدول ۴ آمده است.

این موضوع به ترتیب در زخم هایی که با داربست با سلول و سپس داربست بدون سلول پوشش یافته اند، بیشتر و سریع تر از نمونه های کنترل اتفاق افتاده است. به طوری که در روز پانزدهم پس از عمل جراحی، در حالی که نمونه های کنترل فقط به بھبود در حدود بهبود داربست بدون سلول در روز دهم رسیده اند، نمونه دارای داربست با سلول همانند یک بافت نرم ال دارای لایه اپیتیال کامل و کلاژن هایی باشد لی شکل و منظم شده است، همچنین، در این نمونه وجود ضمائم پوستی همچون فولیکول های مو و غدد چربی در تمام سطح زیر زخم نشان دهنده بهبود کامل و همانندی با بافت نرم ال است. به طور کلی می توان نتیجه گرفت، داربست نانولیفی پلی کاپرولاکتون - کیتوسان - پلی وینیل الکل داربست زیستی بسیار مناسبی برای ترمیم پوست است.

قدردانی

از بنیاد ملی نخبگان، صندوق حمایت از پژوهشگران و مرکز تحقیقات سلولی - مولکولی دانشگاه علوم پزشکی و خدمات بهداشتی درمانی ایران به دلیل حمایت از این پژوهش قدردانی می شود.

نمونه های کنترل حتی در روز پانزدهم نیز به خوبی نمونه های با داربست در روز دهم نبوده اند. همچنین، نتایج معیارهای کدگذاری شده با توجه به نوع نمونه (کنترل، داربست بدون سلول و داربست با سلول) در روزهای مختلف در جدول ۴ آمده است.

نتیجه گیری

در این پژوهش، داربست های مخلوط پلی کاپرولاکتون - کیتوسان - پلی وینیل الکل با نسبت ۲ - ۱ / ۵ - ۱ با موفقیت الکتروریسی شدند. با افزودن پلی کاپرولاکتون به مخلوط کیتوسان - پلی وینیل الکل خواص مکانیکی شبکه بهبود یافته و مقدار آبدوستی آن کاهش یافت. با کاهش مقدار آبدوستی، قابلیت حفظ تمامیت فیزیکی شبکه داربست سه جزئی مدنظر در محیط آبی زیستی (مانند محیط زخم و ...) افزایش یافت. همچنین نتایج کشت سلولی نشان می دهد، مقدار آبدوستی شبکه تا اندازه ای کاهش یافته است که منجر به کاهش ویژگی های زیستی آن نشده است. سلول های فیبروبلاست به خوبی روی داربست رشد کرده و پهن شدگی و چسبندگی مناسبی را با نانولیاف نشان می دهند. به دلیل آرایش یافته ای تصادفی نانولیاف سلول ها به خوبی در تمام جهات به خوبی گسترش یافته اند. نتایج کاشت سلول های مزانشیمی ژله وارتون بند نافی نیز نشان دهنده رشد و قرار گیری شبکه شناسی مناسب سلول ها روی داربست مخلوط نانولیفی پلی کاپرولاکتون - کیتوسان - پلی وینیل الکل است. بررسی های ماکروسکوپی نتایج

مراجع

1. Nair L.S. and Laurencin C.T., Biodegradable Polymers as Biomaterials, *Prog. Polym. Sci.*, **32**, 762-798, 2007.
2. Khil M.S., Cha D.I., Kim H.Y., Kim I., and Bhattacharai N., Electrospun Nanofibrous Polyurethane Membrane as Wound Dressing, *Appl. Biomat.*, **67B**, 675-679, 2003.
3. Chen J.P., Chang G.Y., and Chen J.K., Electrospun Collagen/Chitosan Nanofibrous Membrane as Wound Dressing, *Colloid Surf. A: Physicochem. Eng. Aspects*, **313-314**, 183-188, 2008.
4. Li L. and Hsieh Y.L., Chitosan Bicomponent Nanofibers and Nanoporous Fibers, *Carbohyd. Res.*, **341**, 374-381, 2006.
5. Bhattacharai N., Edmondson D., Veiseh O., Matsen F.A., and Zhang M., Electrospun Chitosan-Based Nanofibers and Their Cellular Compatibility, *Biomaterials*, **26**, 6176-6184, 2005.
6. Gunn J. and Zhang M., Polyblend Nanofibers for Biomedical Applications: Perspectives and Challenges, *Trend. Biotechnol.*, **28**, 189-197, 2010.
7. Laurencin C.T., Ambrosio A.M.A., Borden M.D., and Cooper J.J.A., Tissue Engineering: Orthopedic Applications, *Annu Rev Biomed. Eng.*, **1**, 19-25, 1999.
8. Sahoo S., Sasmal A., Nanda R., Phani A.R., and Nayak P.L., Synthesis of Chitosan–Polycaprolactone Blend for Control Delivery of Ofloxacin Drug, *Carbohyd. Polym.*, **79**, 106-113, 2010.
9. Malheiro V.N., Caridade S.G., Alves N.M., and Mano J.F., New Poly(ϵ -caprolactone)/Chitosan Blend Fibers for Tissue Engineering Applications, *Acta Biomat.*, **6**, 418-428, 2010.
10. Neves S.C., Moreira Teixeira L.S., Moroni L., Reis R.L., Van Blitterswijk C.A., Alves N.M., Karperien M., and Mano J.F., Chitosan/Poly(ϵ -caprolactone) Blend Scaffolds for Cartilage Repair, *Biomaterials*, **32**, 1068-1079, 2011.
11. Shalumon K.T., Anulekha K.H., Girish C.M., Prasanth R., Nair S.V., and Jayakumar R., Single Step Electrospinning of chitosan/Poly(Caprolactone) Nanofibers Using Formic Acid/Acetone Solvent Mixture, *Carbohyd. Polym.*, **80**, 413-419, 2010.
12. Shalumon K.T., Anulekha K.H., Chennazhi K.P., Tamura H., Nair S.V., and Jayakumara R., Fabrication of Chitosan/Poly(caprolactone) Nanofibrous Scaffold for Bone and Skin Tissue Engineering, *Int. J. Biolog. Macromol.*, **48**, 571-576, 2011.
13. Kim M.H., An H.W., Park K.O., Yeo S.I., Yang D.J., and Park G.B., Biological Evaluation of Biodegradable PCL-BCP/PCL Bi-Layered GBR Membrane, *Bioceramics*, **22**, 703-706, 2009.
14. Commission on Life Sciences, Institute of Laboratory Animal Resources; National Research Council, Guide for the Care and Use of Laboratory Animals, National Academy, Washington, 85-23, 1996.
15. Gholipour A., Bahrami S.H., and Samadi A., Morphological, Mechanical and Biological Properties of Novel PCL-Cs/PVA Multi Layer Nanofibrous Scaffolds, *Digest J. Nanomater. Biostrut.*, **7**, 1437-1445, 2012.
16. Galeano M., Altavilla D., Cucinotta D., Russo G.T., Calò M., Bitto A., Marini H., Marini R., Adamo E.B., Seminara P., Minutoli L., Torre V., and Squadrito F., Recombinant Human Erythropoietin Stimulates Angiogenesis and Wound Healing in Genetically Diabetic Mouse, *Diabetes*, **53**, 2509-2517, 2004.